

九州大学 工学部 正員 植 東一郎
平野 宗夫

1. 諸言

河床上を掃流される砂粒の移動速度は、それを単位面積上の移動作の数か掃流砂量を与えるといふ点で基本的な問題であるだけではなく、流水中の砂粒の運動を調べることによって砂粒に働く流体力を推定評価する手掛りを与える。また最近、鉱山、製造工場、建設業などで、固体を流水によって運搬する水力輸送が利用されるようになってきており、この方面からも流水中の固体の移動速度が問題になってきてきている。これらの研究の第一歩として、我々は滑面水路における各種形状の固体の移動速度について実験を行ない、考察を試みた。

2. 実験装置および方法

幅40cm、長さ15mの可変勾配水路に水を流し、その中に各種形状の供試体を投入してその移動速度をストップウォッチで測定した。同時に、水深方向の流速分布と断面方向の水面形をピトー管およびポインティングゲージで測定した。また、供試体の水中での動摩擦係数を測定するためには、15×20×400cmのアクリライト水槽を傾斜させて中に水を貯め、その中に供試体を滑動または転動させてその移動速度を測定した。実験に使用した供試体は表-1のことである。

3. 動摩擦係数と抗力係数

(1) Sliding の場合

正六面体が静水中の斜面を滑り落ちる場合、供試体の移動速度を U_s 、水の抵抗力を D 、抗力係数を C_d 、揚力を L 、揚力係数を C_L 、供試体の水中重量を W' 、正六面体の辺長を a 、水および供試体の密度を ρ とすれば水のあくび P 、供試体と斜面の間の摩擦力を F 、水中の動摩擦係数を μ' 、斜面の傾斜角を θ とするとき、 $W' = (\rho - P) g a^3$ 、 $D = \frac{1}{2} C_d a^2 U_s^2$ 、 $L = \frac{1}{2} C_L a^2 U_s^2$ 、 $F = \mu' (W' \cos \theta - L)$ だから、定常状態における供試体の力の釣合い $W' \sin \theta = D + F$ となり、次式

表-1 供試体の諸元

形 状	材 質	比 重	寸 法
正六面体	鉄	7.86	$3 \times 3 \times 3 \text{ cm}$, $2 \times 2 \times 2$, $1 \times 1 \times 1$
"	ジュラルミン	2.70	同 上
直方体	鉄	7.86	$2 \times 2 \times 1$, $2 \times 2 \times 0.5$
"	ジュラルミン	2.70	同 上
球	鉄	7.86	直径 2.54, 1.90, 1.27, 0.79
"	ガラス	2.50	直径 2.44, 1.64, 1.27
玉 石	石	2.40~2.75	nominal diameter 1.12~2.67
碎 石	石	2.69~2.93	nominal diameter 1.28~2.78

$$\frac{U_s^2}{(\rho/\rho - 1) g a \cos \theta} = \frac{2(\tan \theta - \mu')}{C_d - \mu' C_L} \quad \dots \dots \dots \quad (1)$$

を得る。 C_d 、 C_L および μ' は一定と考えられるので $U_s^2 / (\rho/\rho - 1) g a \cos \theta$ は $\tan \theta$ の 1 次式になるはずである。そこで、実測値より $U_s^2 / (\rho/\rho - 1) g a \cos \theta$ を $\tan \theta$ でプロットし、最小自乗法により μ' を求めると正六面体の鉄では $\mu' = 0.41$ 、ジュラルミンでは $\mu' = 0.39$ 、碎石では $\mu' = 0.38$ となる。また、この μ' の値を用いて式(1)の関係より各実験値における $C_d - \mu' C_L$ を計算すると、図-1, 2 のようになる。実はばらつきが大きいが平均すると正六面体では $C_d - \mu' C_L = 1.04$ となり、正六面体の抗力係数 $C_d = 1.05$ にはほぼ

* 岩波講座・基礎工学 I, 流体力学 1709

致す。碎石の平均値は $\mu' = 1.32$ で正六面体のそれよりやや大きい。

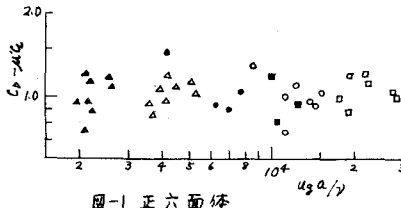


図-1 正六面体

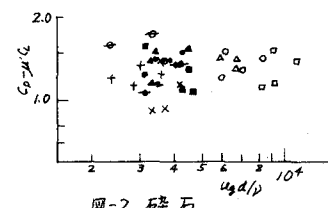


図-2 碎石

(2) Rolling の場合

供試体がころかた場合には Magnus 効果が働く。無限に長い円柱の Magnus 効果は $P\pi d^2 U_g^2$ であるから、球や玉石の Magnus 効果 M を補正係数 m を用いて表わすことにし、 $M = m P\pi d^2 U_g^2$ とする。定常状態における力の釣合いは $D + W \sin \theta = D + \mu'(W \cos \theta + M)$ であるから、球の移動速度は次式

$$\frac{U_g^2}{(\gamma/\rho - 1) g d \cos \theta} = \frac{4}{3} \frac{\tan \theta - \mu'}{C_D + 8\mu'm} \quad \text{--- (2)}$$

で表わされる。 C_D は $Re = u_g d / \nu$ によって変化するが、実験の範囲は $Re = 10^3 \sim 10^4$ 程度の C_D の変化の小さな領域であり、かつ、同一の球に対する Re の範囲は更に狭いから、同一の球に対しては式(2)右辺の分母の値は一定とみなしてよい。そこで実験値より $U_g^2 / (\gamma/\rho - 1) g d \cos \theta \times \tan \theta$ を求めてプロットし、最小自乗法により m を求めると、球では $m \approx 0.04$ 、玉石では $m' = 0.2 \sim 0.3$ となる。求めた m' を用いて式(2)の関係から $C_D + 8\mu'm$ を逆算し、 $Re = u_g d / \nu$ に対してプロットすると図-3 のようになる。 $C_D + 8\mu'm$ の値は球、玉石とも Re に下って変化していく。球の場合、静水中を沈降する場合の C_D の値（図-3中の実線）よりもやや大きい値となつてゐるが、比重や粒径による差異は認められない。玉石の $C_D + 8\mu'm$ の値は球のそれより 0.4 程大きいか、もし球の C_D と玉石の C_D が同じ値だとするとこの差は μ' の違いによるものとなり、 $\mu' \approx 0.2$ となる。しかし、玉石の C_D は球のそれより大きいと考えられるから、 m の値は更に小さなものとなるであろう。従って、球に対する Magnus 効果の影響はかなり小さいものと思われる。

4. 流水中の固体の移動速度

(1) Sliding の場合

定常状態における力の釣合いは $D + W \sin \theta = \mu'(W \cos \theta - L)$ であるから、正六面体の移動速度 U_g は、固体に作用する代表流速を u として、

$$\frac{(u - U_g)^2}{(\gamma/\rho - 1) g a} = \frac{2(\mu' \cos \theta - \sin \theta)}{C_D + \mu' C_L} \quad \text{--- (3)}$$

となる。 U_g が 0 へ 0 に近づくときの流速を U_c 、 $\varphi'_c = U_c / u * c$ 、 $\cos \theta = 1$ 、 $\sin \theta = 0$ とする。

$$\frac{U_c^2}{(\gamma/\rho - 1) g a} = \frac{2\mu'}{\varphi'_c^2 (C_D + \mu' C_L)} \quad \text{--- (4)}$$

$\varphi' = u / U_c$ とし、 $\varphi' \approx \varphi'_c$ とすると、式(3)、(4)より

$$\frac{u_g}{u} = 1 - \frac{u_c}{u} = 1 - \sqrt{\frac{u_g}{u}} \quad \dots \dots \dots \quad (5)$$

$$z=1, \quad \psi = u^2/(c/p-1)ga, \quad u_c = u^2 c^2 / (c/p-1)ga$$

u_g/u は一定と考えられるので $u_g/u \propto 1/\sqrt{u}$ の間に直線関係が予想される。正六面体に対する実験値より $u_g/u \propto 1/\sqrt{u}$ を求めてプロットすると図-4のようになり、 $u_g/u < 0.5$ の範囲では実験値は直線 $u_g/u = 1 - \sqrt{0.0021/u}$ の線のまわりにちらばる。式(5)が成立するとは言えまい。また u_c の値は 0.0021 となるが、これは式(4)の右辺に実験より求めた数値を入れて計算した値と等しい。しかし、 $u_g/u < 0.5$ をこえたとき実験値は上記の直線より上方にはずれ、式(4)が適用できなくななる。これは u_g が大きくなると供試体と水路床の間にうすい water film ができるで摩擦抵抗が減少するためであると思われる。この現象は図-5 に示すように直方体の場合も全く同様に現われた。しかし、碎石の場合には、碎石と水路床の間にすき向が多いため water film ができるにくく、直線からのずれは立方体ほど大きくない(図-6 参照)。

次に water film ができる場合の正六面体の運動を潤滑面の理論を用いて検討してみる。下図のように x 軸を供試体に固定して考えると、供

試体が静止し水路床が
 $-u_g$ の速度で移動することになる。次に、

i) すき間は非常に小さいので Re 数は小さく慣性項は無視できる。ii) $U \gg v, U \gg w$, iii) すき間は平行に近いので $\partial u / \partial z \gg \partial u / \partial x$ と仮定すると、Navier-Stokes の方程式は簡単に $\partial^2 u / \partial z^2 = \mu \partial^2 u / \partial x^2$ となる。これを積分して境界条件 $z=0$ で $u=-u_g$, $z=\bar{x}_0$ で $u=x_0$, $z=0$ および $z=x_1$ で $T=P_0$ を用いると、供試体の底面に働く圧力 P は

$$P = \frac{6\rho v u_g d^3}{(n-1)^2 k_0^2} \left(\log n - 2 \frac{n-1}{n+1} \right) \quad \dots \dots \dots \quad (6)$$

$$\text{ここで}, \quad \bar{x}_0 = \alpha x_0, \quad n = \bar{x}_1 / \bar{x}_0 = x_1 / x_0$$

また、底面に働く抵抗は $T = \mu (\partial u / \partial z)_{z=0}$ を積分して

$$T = \frac{\rho v u_g d^3}{\alpha} \left(6 \frac{1-n}{1+n} - 2 \log n \right) \quad \dots \dots \dots \quad (7)$$

x 方向および z 方向の力の釣合いで $P \cos \alpha - T \cos \theta = 0$,

$T \cos \alpha + D = 0$ であるから、 $\cos \alpha = \cos \theta = 1$ として、

$$\frac{u_g}{u} = \frac{1}{1 + K \left(\frac{(6\rho v + T) d^3}{\mu u g} \right)^{1/4}} \quad \dots \dots \dots \quad (8)$$

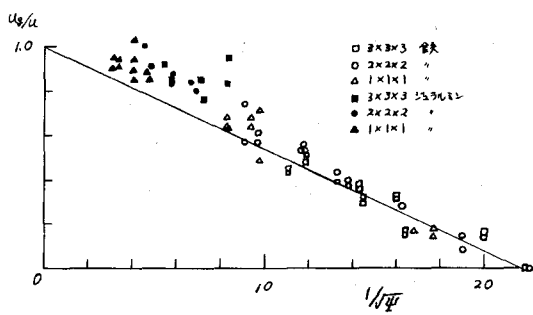


図-4 正六面体の移動速度

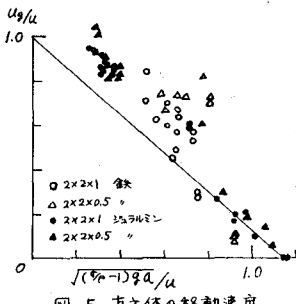


図-5 直方体の移動速度

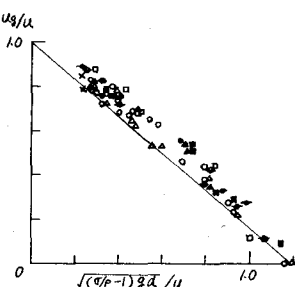


図-6 碎石の移動速度

$$z = 12, \quad K = \left[\frac{4}{C_D \sqrt{6}} \cdot \frac{\frac{3}{4} \frac{u^2}{g d} + \log n}{\log n - 2 \frac{u^2}{g d}} \right]^{\frac{1}{2}}$$

上式において n の値が不明であるので式の函数形はさすがに $(\sigma/\rho - 1) g d / u^2 \leq 10^2 \times 10^{-2} \times 10^{-2} < u_g/u > 5$ の実験値を整理するに図-7, 8 のようになる。

(2) Rolling の場合

流水の抵抗力 D , Magnus 効果 M , 墓力 L は u と u_g の大小により向きが異なり。また、流速は水深方向に変化するから球に作用する相対速度 $u - u_g$ も変化し、一般には左図のように上部と下部で向きが逆になる。 $\theta = 2^\circ$, D , M , L に対する代表流速をそれぞれ U_0 , U_M , U_L とし、 $D = \frac{1}{2} C_D \frac{\pi}{4} d^2 / U_0 - U_g / (U_0 - U_g)$,

$M = m \rho \pi d^2 U_g (U_M - U_g)$, $L = \frac{1}{2} C_L \frac{\pi}{4} d^2 / U_0 - U_g / (U_L - U_g)$ とする。定常状態での力の釣合いより

$$\begin{aligned} \frac{U_0 - U_g / (U_0 - U_g)}{(\sigma/\rho - 1) g d} &\rightarrow \frac{4}{3 C_D} (\mu \cos \theta - \sin \theta) - \mu \frac{C_L}{C_D} \frac{|U_0 - U_g| / (U_L - U_g)}{(\sigma/\rho - 1) g d} \\ &\quad - 8 \frac{\mu' m}{C_D} \frac{U_g (U_M - U_g)}{(\sigma/\rho - 1) g d} \end{aligned}$$

U_0 , U_M , U_L についてどの束の流速をとればよいかは不明であるが、 $U_0 = U$, $U_M = U_L = k u$ とすると、 $U > U_g$ の場合

$$\frac{U_g}{U} = 1 - \sqrt{\frac{4}{3 C_D} (\mu \cos \theta - \sin \theta) \frac{(\sigma/\rho - 1) g d}{U^2}} - \left(k - \frac{U_g}{U} \right) \left\{ \mu \frac{C_L}{C_D} \left| k - \frac{U_g}{U} \right| + 8 \frac{\mu' m}{C_D} \frac{U_g}{U} \right\} \quad \dots \dots \dots \quad (9)$$

となる。上式によると、 U_g/U は、 $L = M = 0$ の場合の値 $U_g/U = 1 - \sqrt{\frac{4}{3 C_D} (\mu \cos \theta - \sin \theta) (\sigma/\rho - 1) g d / U^2}$ に較べて $k < U_g/U$ のとき小さく $k > U_g/U$ のとき大きい。これは $U_g/U = k$ を境にして L, M の向きが変化し、 $k < U_g/U$ のとき下向き、 U_g/U のとき上向きに成るためである。球と玉石の実験値より U_g/U と $\sqrt{\frac{4}{3 C_D} (\mu \cos \theta - \sin \theta) (\sigma/\rho - 1) g d / U^2}$ を求めてプロットすると図-9 のようになり、実験値は $U_g/U = 1 - \sqrt{\frac{4}{3 C_D} (\mu \cos \theta - \sin \theta) (\sigma/\rho - 1) g d / U^2}$ の線の上下に分れているようである。これより $k = 0.7 \sim 0.8$ と考へられるが、 U のとりうる範囲が問題があり、なお検討を要する。また、図-9 によると球と玉石との間に系統的な差は認め難い。

5. 結語

滑面水路における固体の移動速度を確定するパラメータは

(1) 立方体の滑動する場合

$$U_g \text{ の小} \rightarrow U^2 / (\sigma/\rho - 1) g d \text{ の大} \rightarrow U^3 / (\sigma/\rho - 1) g d$$

(2) 球や玉石の転動する場合

$$\sqrt{\frac{4}{3 C_D} (\mu \cos \theta - \sin \theta) (\sigma/\rho - 1) g d / U^2}$$

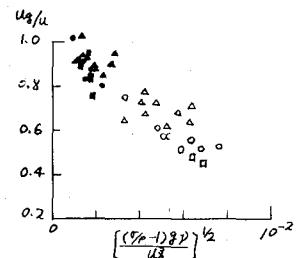


図-7 正六面体

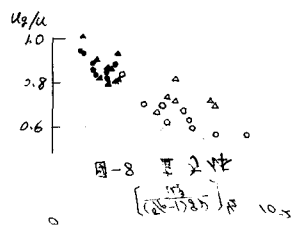


図-8 球

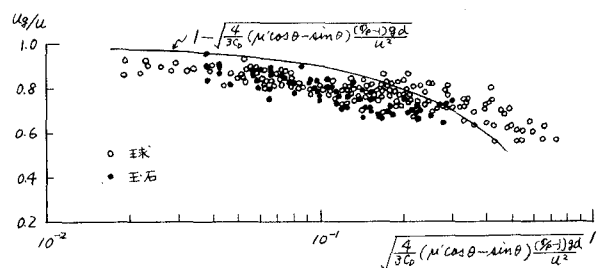


図-9 球および玉石の移動速度